

Nagyenergiás nehézion-ütközések numerikus hidrodinamikai modellezése

Bagoly Attila
ELTE TTK Fizika BSc, 3. évfolyam

Témavezető:
Csanád Máté

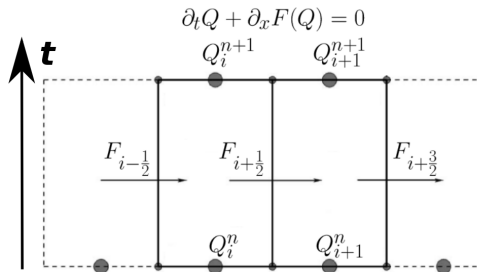
ELTE TTK Atomfizikai tanszék

2015.08.19.

Numerikus módszer

- Transzverz sík kitüntetett: $2 + 1$ dimenziós egyenletek
- Hidrodinamika egyenletei: $\partial_t Q + \partial_x F(Q) + \partial_y G(Q) = 0$

- Numerikus megoldás:
diszkretizáció \leftarrow véges térfogat
módszer
- Probléma: fluxusok a
rácspontok között



- Instabilitás: perturbáció amely rácspontokban nulla \rightarrow CFL feltétel
- 2 térdimenziót bonyolult \rightarrow operátor szétválasztás
- Viskozitás: ideális fluxus + viszkózus fluxus \leftarrow operátor szétválasztás

MUSTA módszer

- n -edik időlépésben: $Q_i^{(0)} \equiv Q_i^n$, $Q_{i+1}^{(0)} \equiv Q_{i+1}^n$
- ℓ -edik előrejelzett fiktív értékek: $Q_i^{(\ell)}$, $F_i^{(\ell)} \equiv F(Q_i^{(\ell)})$
- Köztes érték és fluxus:

$$Q_{i+\frac{1}{2}}^{(\ell)} = \frac{1}{2} [Q_i^{(\ell)} + Q_{i+1}^{(\ell)}] - \frac{1}{2} \frac{\Delta t}{\Delta x} [F_{i+1}^{(\ell)} - F_i^{(\ell)}], \quad F_M^{(\ell)} \equiv F(Q_{i+\frac{1}{2}}^{(\ell)})$$

- Korrigált cellaközi fluxus:

$$F_{i+\frac{1}{2}}^{(\ell)} = \frac{1}{4} \left[F_{i+1}^{(\ell)} + 2F_M^{(\ell)} + F_i^{(\ell)} - \frac{\Delta x}{\Delta t} (Q_{i+1}^{(\ell)} - Q_i^{(\ell)}) \right]$$

- Következő előrejelzés a korrigált fluxusok meghatározásához:

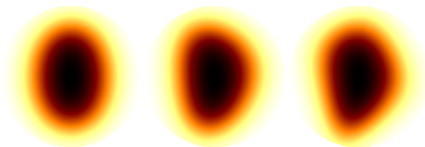
$$Q_i^{(\ell+1)} = Q_i^{(\ell)} - \frac{\Delta t}{\Delta x} [F_{i+\frac{1}{2}}^{(\ell)} - F_i^{(\ell)}]$$

- k lépés $\rightarrow F_{i+\frac{1}{2}} = F_{i+\frac{1}{2}}^{(k)} \implies Q_i^{n+1} = Q_i^n - \frac{\Delta t}{\Delta x} (F_{i+\frac{1}{2}} - F_{i-\frac{1}{2}})$
- A módszer publikálva: E. F. Toro et al, 2006, J. Comp. Phys

Kezdőfeltétel és aszimmetria paraméterek

- Mennyiségek: helyfüggés csak skálaváltozóban, ebben szimmetria
- Számsűrűség és nyomás $\propto \exp(-s)$; sebességmező: Hubble/0
- Skálaváltozó:

$$s = \frac{r^2}{R^2} (1 + \epsilon_2 \cos(2(\phi - \psi_2)) + \epsilon_3 \cos(3(\phi - \psi_3)) + \epsilon_4 \cos(4(\phi - \psi_4)))$$



- Aszimmetriát jellemző paraméter: $\epsilon_n = \langle \cos(n\phi) \rangle_{\rho/v/p}$
- ϵ_n (most bevezetett) $\neq \epsilon_m$ (kezdőfeltétel skálaváltozójában)

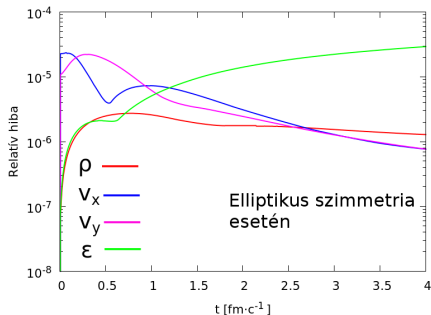
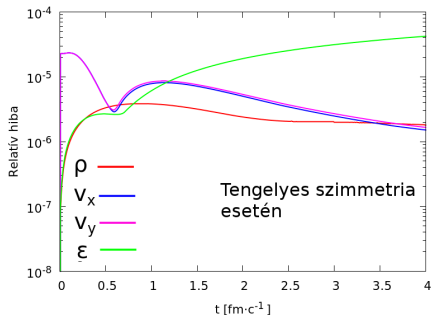
Aszimmetriák jellemzése

- Skálaváltozó: $s = \frac{r^2}{R^2} (1 + \epsilon_2 \cos(2\phi) + \epsilon_3 \cos(3\phi) + \epsilon_4 \cos(4\phi))$
- Aszimmetriát jellemző paraméter: $\epsilon_n = \langle \cos(n\phi) \rangle_{\rho/\mathbf{v}/\rho}$
- ϵ_n (most bevezetett) $\neq \epsilon_m$ (kezdőfeltétel skálaváltozójában)
- Kezdetben a ϵ_n és ϵ_m közti kapcsolatot becsülhetjük Taylor-sorfejtéssel: $\chi = 2 + \sum_n \epsilon_n^2$
 - $\langle \cos(\phi) \rangle = ([\epsilon_2 \cdot \cos(2\psi_2 - 3\psi_3) + \epsilon_4 \cdot \cos(4\psi_4 - 3\psi_3)]\epsilon_3) / \chi$
 - $\langle \cos(2\phi) \rangle = (-\epsilon_2 \cdot \cos 2\psi_2 + \epsilon_2 \epsilon_4 \cdot \cos(2\psi_2 - 4\psi_4)) / \chi$
 - $\langle \cos(3\phi) \rangle = (-\epsilon_3 \cdot \cos 3\psi_3) / \chi$
 - $\langle \cos(4\phi) \rangle = (-\epsilon_4 \cdot \cos 4\psi_4 + \frac{1}{4}\epsilon_2^2 \cdot \cos 4\psi_2) / \chi$

Kód tesztelése

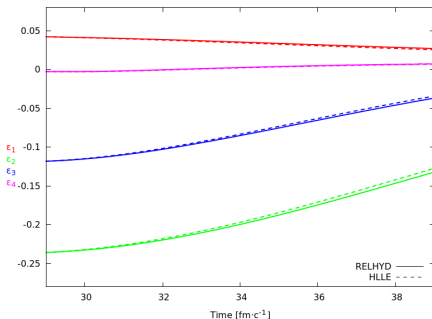
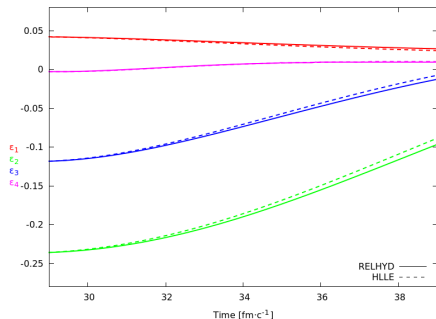
- Egzakt megoldással (Csörgő et al, PhysRevC67)
- Relatív hiba a numerikus és analitikus megoldás közt:

$$\int |\rho_{\text{analitikus}}(t, \underline{x}) - \rho_{\text{numerikus}}(t, \underline{x})| d^2x \bigg/ \int \rho_{\text{analitikus}}(t, \underline{x}) d^2x$$



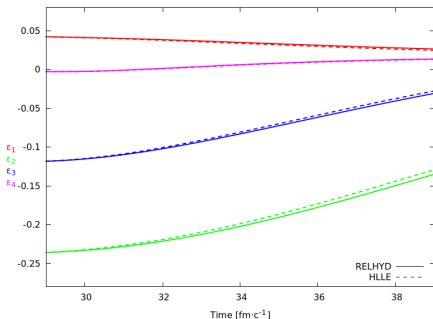
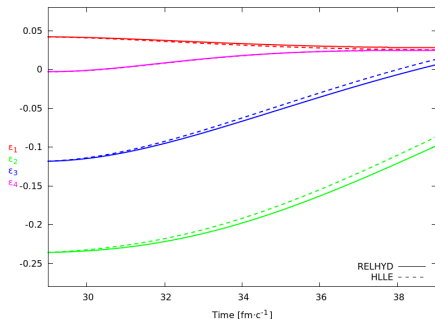
Relativisztikus kód tesztelése: Számsűrűség

$\kappa = 2$ és $\kappa = 4$



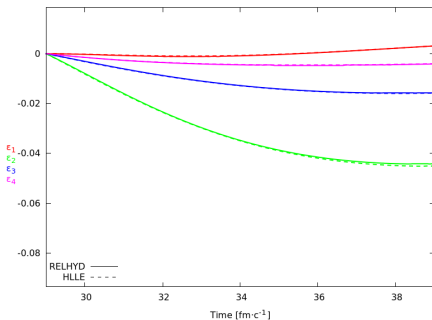
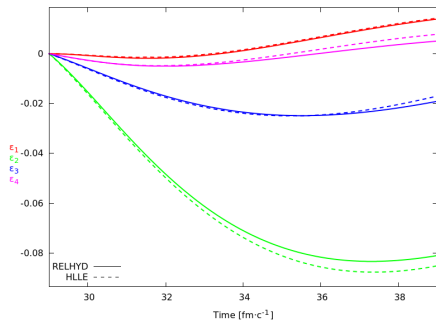
Relativisztikus kód tesztelése: Nyomás

$\kappa = 2$ és $\kappa = 4$



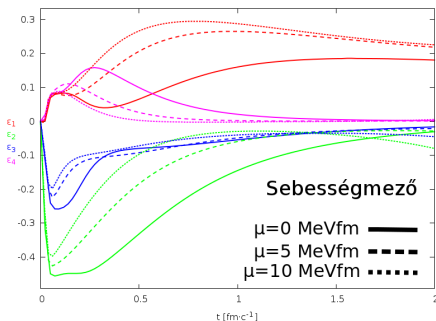
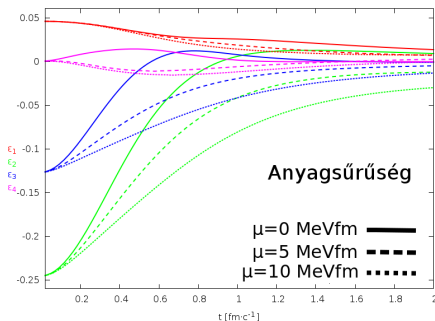
Relativisztikus kód tesztelése: Sebességmező

$\kappa = 2$ és $\kappa = 4$



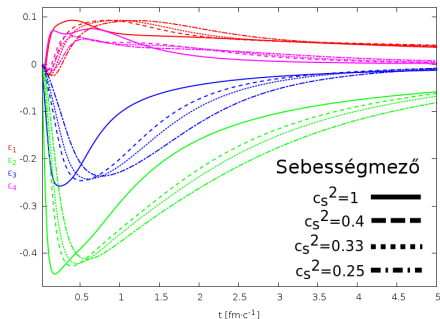
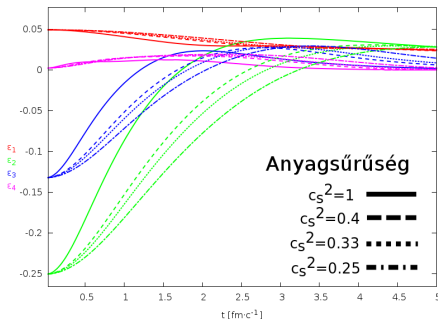
Viszkozitás hatása

- Energiasűrűségben és anyagsűrűségben: lassít
 - Viszkozitás: lassítja az áramlást
- Sebességeloszlásban: gyorsít
 - Nagyobb, kisebb aszimmetriájú részek más erőt éreznek: különbségek gyorsan eltűnnek
- Ábra: ε_1 piros, ε_2 zöld, ε_3 kék, ε_4 magenta



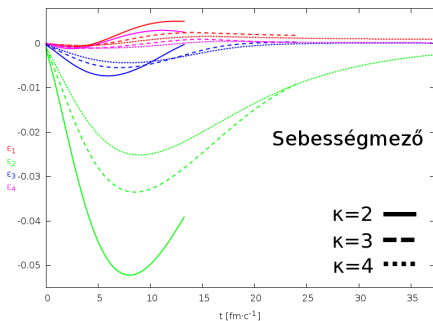
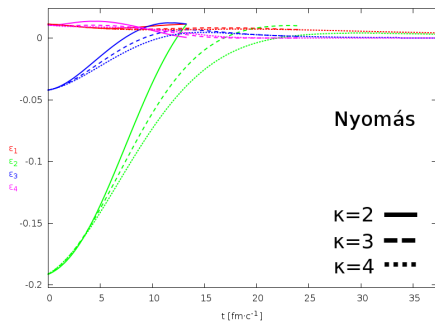
Hangsebesség hatása

- Minden eloszlásban: aszimmetriák eltűnése lassul
 - Nyomáshullámok sebessége csökken \rightarrow kiegyenlítődés tovább tart
- Hangsebességek: $c_s^2 = 1$ vagy 0,4 vagy 0,33 vagy 0,25



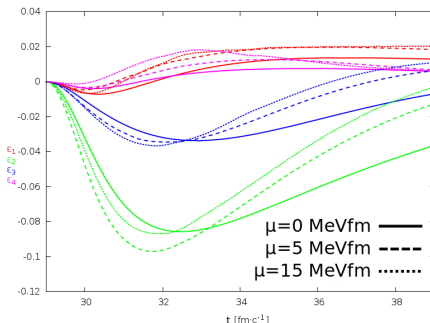
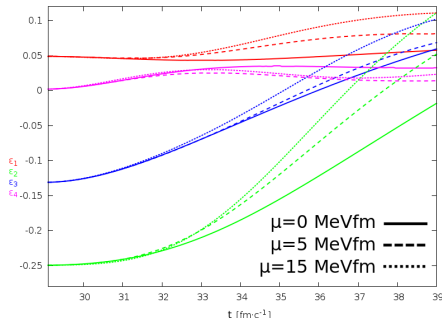
Hangsebesség hatása

- Minden eloszlásban: aszimmetriák eltűnése lassul
 - Nyomáshullámok sebessége csökken \rightarrow kiegyenlítődés tovább tart
- Kifagyás máskor történik!



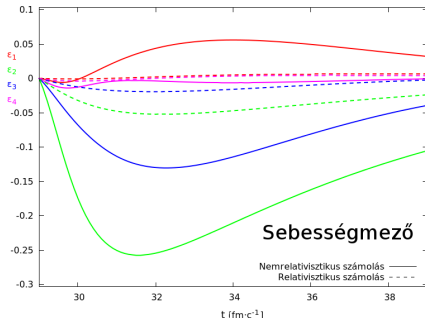
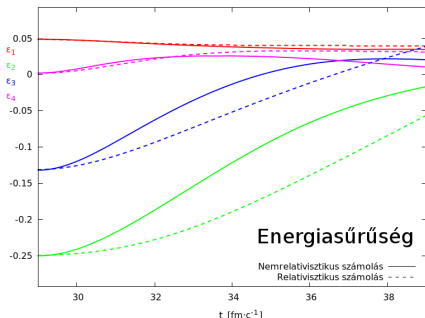
Viszkozitás hatása

- Energiasűrűségben, anyagsűrűségben, sebességeloszlásban: gyorsít
- Nemrelativisztikus esetben más eredmény
- Ábra: nyomáseloszlásban és sebességmezőben számolt aszimmetriaparaméterek

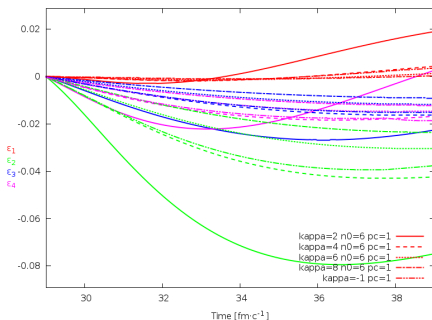
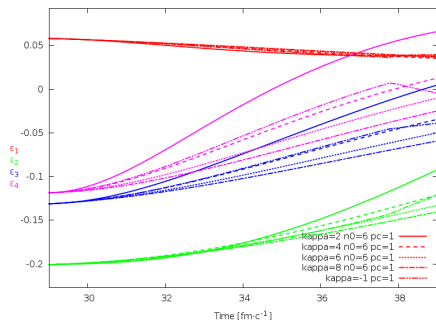


Relativisztikus és nemrelativisztikus hidrodinamika összehasonlítása

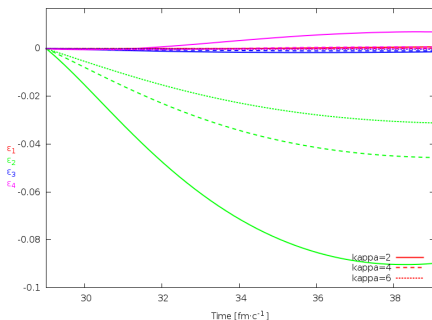
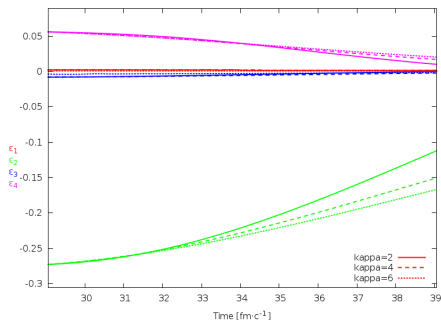
- Relativisztikus eset: lassabban tűnik el az asszimmetria
- Nemrelativisztikus eset: sebességmezőben nagyobb asszimmetria alakul ki



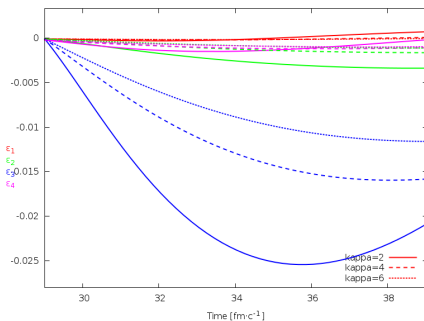
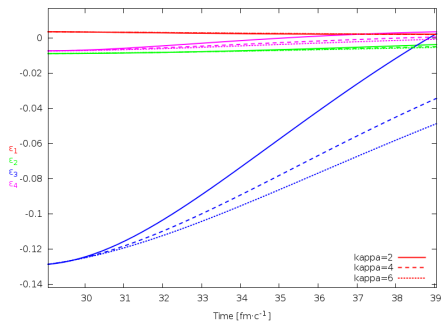
QCD állapotegyenlet



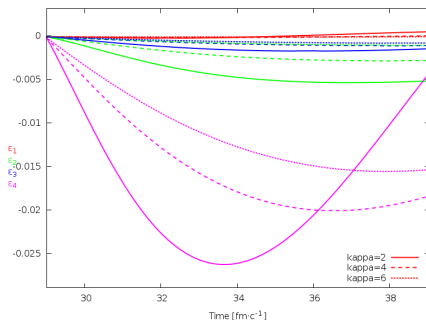
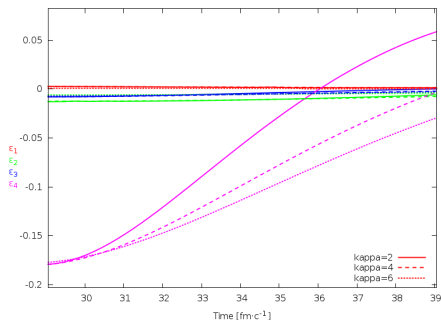
Reakciósík átlagolás: $\psi_2 = 0$



Reakciósík átlagolás: $\psi_3 = 0$



Reakciósík átlagolás: $\psi_4 = 0$



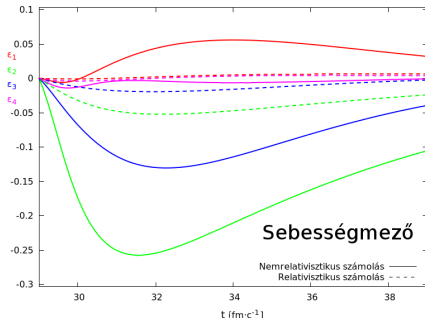
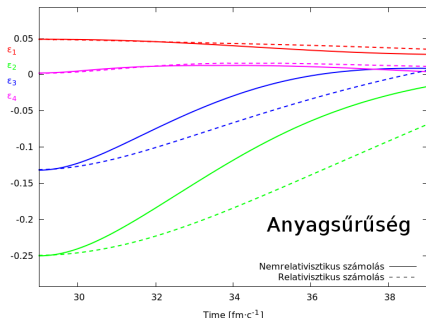
Összegzés

- Két kód: relativisztikus és nemrelativisztikus hidrodinamikára külön + Karpenko kódja relativisztikus viszkozitásra
- Teszteltük a kódokat
- Vizsgáltuk a hangsebesség, viszkozitás hatását az időfejlődésre
- QCD állapotegyenletet is használtunk
- Néztünk reakciósíkokra vett átlagot

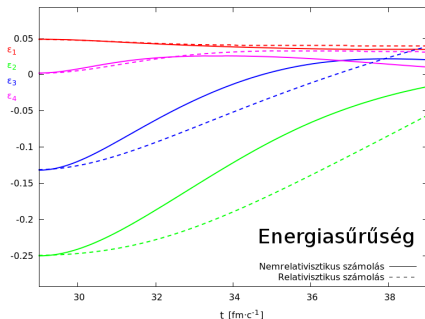
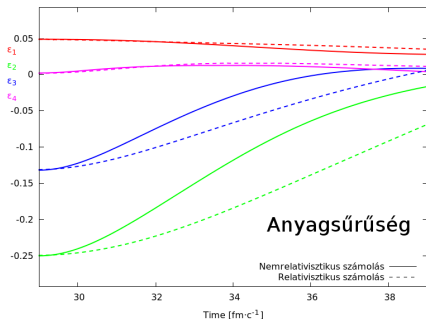
Köszönöm a figyelmet!

Relativisztikus és nemrelativisztikus hidrodinamika összehasonlítása

- Relativisztikus eset: lassabban tűnik el az asszimmetria
- Nemrelativisztikus eset: sebességmezőben nagyobb asszimmetria alakul ki



Relativisztikus és nemrelativisztikus hidrodinamika összehasonlítása



Hidrodinamika egyenletei

■ Nemrelativisztikus hidrodinamika:

■ Anyagmegmaradás: $\frac{\partial \rho}{\partial t} + \nabla \rho \mathbf{v} = 0$

■ Impulzusmegmaradás:

$$\rho \left(\frac{\partial \mathbf{v}}{\partial t} + (\mathbf{v} \nabla) \mathbf{v} \right) = -\nabla p + \mu \Delta \mathbf{v} + \left(\zeta + \frac{\mu}{3} \right) \nabla (\nabla \mathbf{v}) + \mathbf{f}$$

■ Energiamegmaradás: $\frac{\partial \varepsilon}{\partial t} + \nabla \varepsilon \mathbf{v} = -p \nabla \mathbf{v} + \nabla (\sigma \mathbf{v})$

■ ρ anyagsűrűség, \mathbf{v} sebességmező, ε energiasűrűség, p nyomáseloszlás

■ Relativisztikus hidrodinamika:

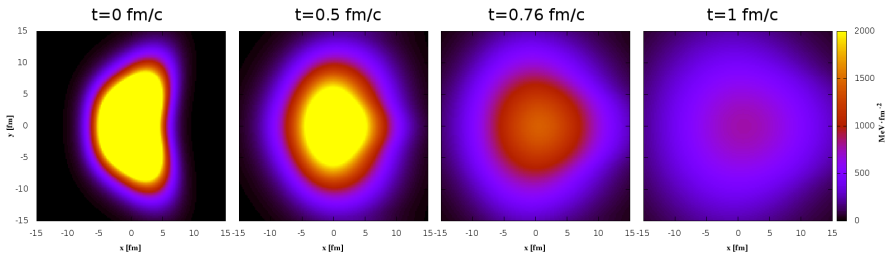
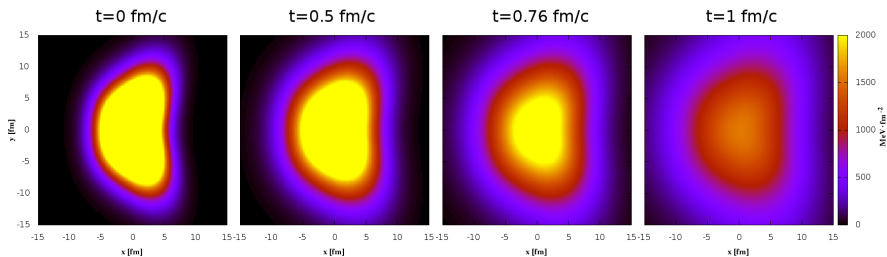
$$T^{\mu\nu} = (\varepsilon + p) u^\mu u^\nu - p g^{\mu\nu}, \quad \partial_\mu T^{\mu\nu} = 0$$

■ $T^{\mu\nu}$ energia-impulzus tenzor, u^μ négyes-sebesség, $g^{\mu\nu}$ metrikus tenzor

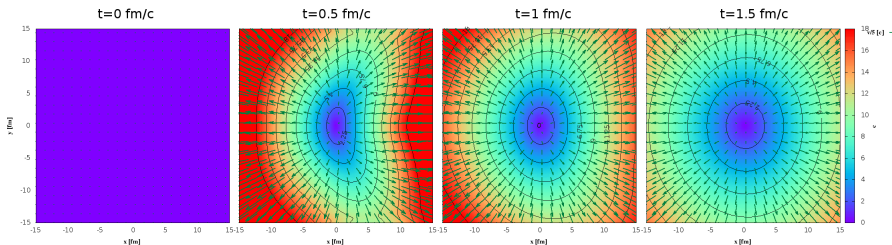
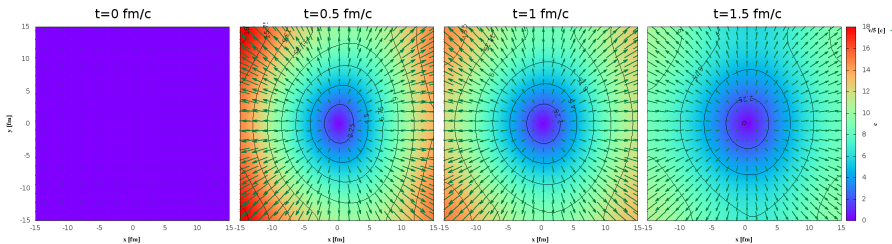
■ Állapotegyenlet: $\varepsilon = \kappa(T) p$ ($\kappa = 1/c_s^2$, $\kappa = 3/2$ id. gáz)

■ Advekción forma: $\partial_t Q(\rho, \varepsilon, \mathbf{v}) + \partial_x F(Q) = 0$ (F fluxus)

Viszkozitás hatása: energiasűrűség időfejlődése

 $\mu = 0 \text{ MeV fm}/c$

 $\mu = 10 \text{ MeV fm}/c$


Viszkozitás hatása: sebességeloszlás időfejlődése

 $\mu = 0 \text{ MeVfm}/c$

 $\mu = 10 \text{ MeVfm}/c$


Kód tesztelése

- Nemrelativisztikus esetben: egzakt megoldással (Csörgő et al, PhysRevC67):

$$s = \frac{x^2}{X^2(t)} + \frac{y^2}{Y^2(t)}$$

$$\rho = \rho_0 \frac{V_0}{V} e^{-s}, \quad p = p_0 \left(\frac{V_0}{V} \right)^{1+\frac{1}{\kappa}} e^{-s}$$

$$\mathbf{v}(t, \mathbf{r}) = \left(\frac{\dot{X}}{X} x, \frac{\dot{Y}}{Y} y \right)$$

$$\ddot{X}X = \ddot{Y}Y = \frac{T_i}{m} \left(\frac{V_0}{V} \right)^{\frac{1}{\kappa}}, \quad V = X(t)Y(t)$$

Bíróló kérdései és válaszok

- Azt írja, hogy a RHIC az LHC utáni legnagyobb energiájú részecskegyorsító. Milyen értelemben nagyobb a RHIC gyorsító 100 GeV/n energiája az LHC előgyorsítójaként is használt SPS 450 GeV/n energiájánál?
Az ütközés során nukleononkénti tömegközépponti energia nagyobb (SPS fix céltárgyat használ).
- Valóban rendelkezik-e a standard modell $U(1) \times SU(2)$ mértékszimmetriával?
A Lagrange-függvény rendelkezik ezen szimmetriával, de az alapállapot sérti.
Tehát nem.
- A kvarkanyag elektromos töltése sokszorosa az atommagénak. Miért egyezik mégis a kiszabaduló fotonok észlelt mennyisége periférikus és centrális ütközések esetén?
A fotonok száma nem ugyanannyi, hanem az R_{AA} konstans (nukleáris módosulási faktor). Ami azt jelenti, hogy minden centralistánál annyi foton keletkezik amennyit N+N ütközésekből várunk.

Bíráló kérdései és válaszok

- Miért feltételezheti az 1.3 részben az ütköző atommagok gömbszimmetriáját a nagy sebességeknél fellépő Lorentz-kontrakció ellenére?

Ez egy közelítés, az egyszerű szemléltetés kedvéért. Az ütköző magok elnyúlt ellipszoidok, a végállapotban kifagyáskor longitudinális irányba elnyúlt eloszlás lesz, valamilyen köztes időpillanatban lehet gömbhöz közeli szimmetria.

- Mit jelöl $\sqrt{-g}$ a (2.2.2) egyenletben hidrodinamikai esetben?

Jacobi determináns jelöli, függetlenül, az anyagi Lagrange-sűrűségfüggvényről.

- Miért használhat nemrelativisztikus hidrodinamikát mélyen relativisztikus ütközések leírására? Milyen információt nyújt a relativisztikus tárgyaláshoz képest?

Ez egy közelítés, eredményeit összevetve a relativisztikus eredményekkel láthatjuk, hogy fizikai folyamatok alakítják az asszimmetriák időfejlődését, és nem a relativisztikus hidrodinamika „különlegessége”. Vízkozitás esetén is elvégezhető az összehasonlítás, ami fontos, hiszen relativisztikusan nem definiált, hogy lehet a súrlódást kezelni.

Operátorok felbontása

$$\partial_t u = Au + Bu$$

$$u(t + \Delta t) = e^{\Delta t(A+B)} u(t)$$

$$u_{\text{Lie}}(t + \Delta t) = e^{\Delta t A} e^{\Delta t B} u(t)$$

$$u_{\text{Strang}}(t + \Delta t) = e^{\frac{1}{2}\Delta t A} e^{\Delta t B} e^{\frac{1}{2}\Delta t A} e^{\Delta t B} u(t)$$

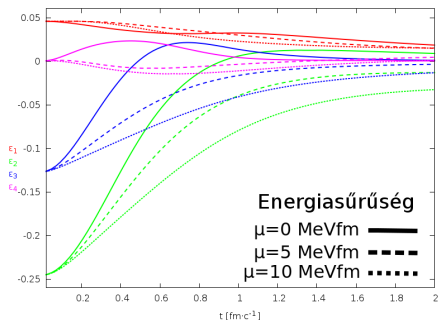
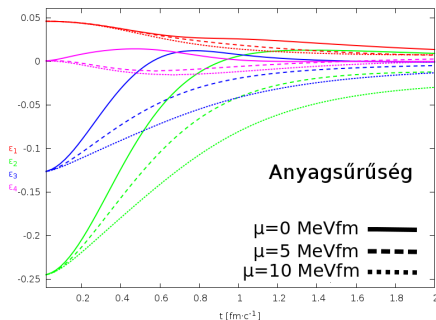
Viszkózus hidrodinamika

$$\partial_t Q + \partial_x F_{\text{id}}(Q) + \partial_y G_{\text{id}}(Q) + \partial_x F_{\text{visc}}(Q, \partial Q) + \partial_y G_{\text{visc}}(Q, \partial Q) = 0$$

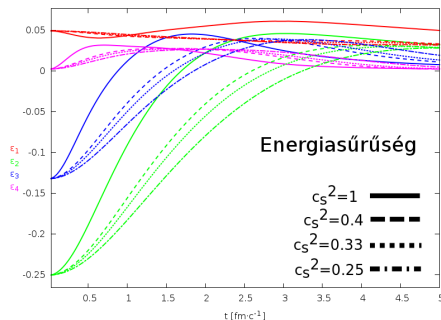
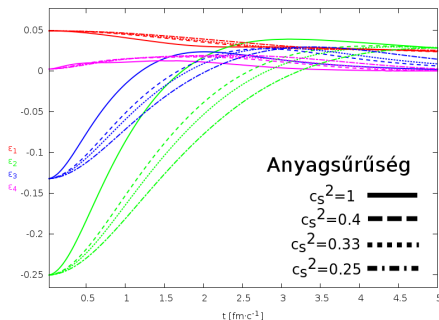
\implies operátorfelbontás

- Ideális lépés: $\partial_t Q + \partial_x F_{\text{id}}(Q) + \partial_y G_{\text{id}}(Q) = 0 \rightarrow Q^{\text{id}}, \partial Q^{\text{id}}$
 $\rightarrow F_{\text{visc}}, G_{\text{visc}}$
- Viszkózus lépés: $\partial_t Q + \partial_x F_{\text{visc}}(Q^{\text{id}}, \partial Q^{\text{id}}) + \partial_y G_{\text{visc}}(Q^{\text{id}}, \partial Q^{\text{id}}) = 0$
 $\rightarrow Q$

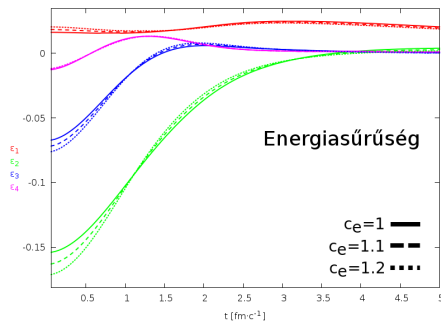
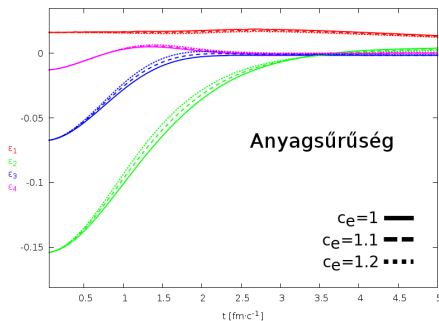
Viszkozitás hatása: ε_n anyag- és energiasűrűségben



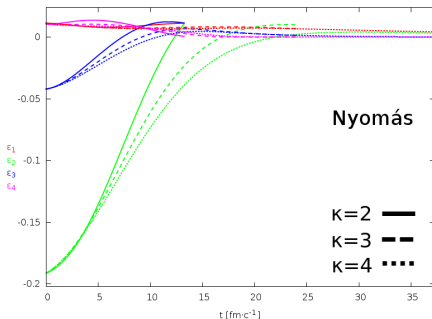
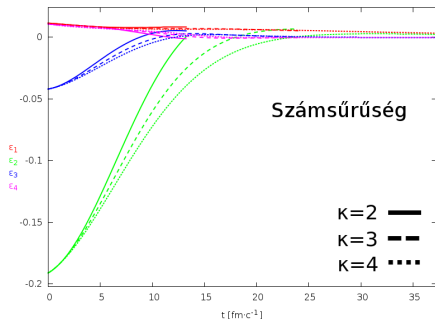
Hangsebesség hatása: ε_n anyag- és energiasűrűségben



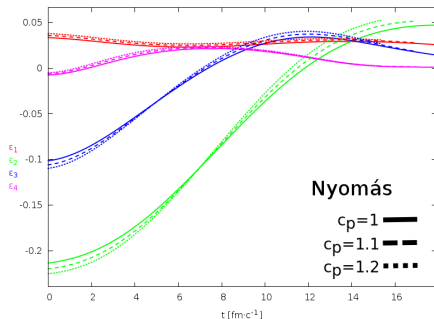
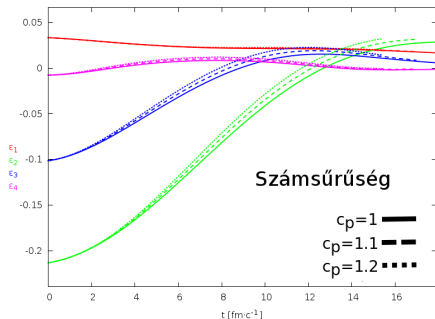
Nyomásgradiens hatása: ε_n anyag- és energiasűrűségben



Hangsebesség hatása: ε_n számsűrűségben és nyomáseloszlásban



Nyomásgradiens hatása: ε_n számsűrűségben és nyomáseloszlásban



Kitekintés

- Viskozitás hatásának vizsgálata relativisztikus esetben
- Relativisztikus és nemrelativisztikus viszkozitás összehasonlítása
- QCD állapotegyenlet használata